

Fyzika laserů

Poloklasický popis šíření elmg. záření v rezonančním prostředí.

Jan Šulc

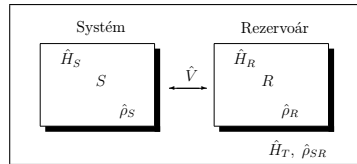
Katedra fyzikální elektroniky
České vysoké učení technické
jan.sulc@fjfi.cvut.cz

20. dubna 2020

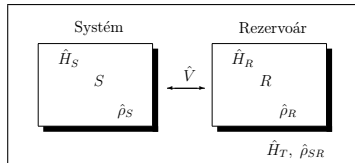
Program přednášek

1. Kvantová teorie tlumení, řídící rovnice
2. Aplikace na „atom“, Pauliho rovnice
3. Poloklasický popis interakce záření s látkou
4. **Aplikace na šíření rezonančního záření prostředím**
5. Aplikace na laser – kontinuální režim
6. Aplikace na laser – Q-spínání
7. Koherentní šíření impulzů
8. Další jevy v poloklasické approximaci
9. Spektrum laseru a režim synchronizace módů
10. Kvantová teorie laseru, F.-P. rovnice
11. F.-P. rovnice pro záření a atom
12. F.-P. rovnice pro laser
13. Statistické vlastnosti laserového záření

Interakce ATOM – REZERVOÁR



Interakce ATOM – REZERVOÁR

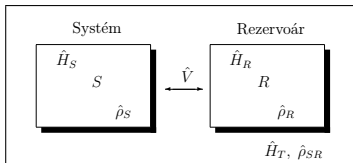


- $\hat{H}_S|I\rangle = E_I|I\rangle$
- $\langle I|m\rangle = \delta_{Im}$
- $\sum_I |I\rangle\langle I| = \mathbf{1}$

Interakce je dipólová

$$\hat{V} = \hbar \sum_{k,I} f_{k,I} |k\rangle \langle I| = -e \vec{r} \cdot \hat{\vec{E}}$$

Elektromagnetické pole v termodynamické rovnováze



- $\hat{H}_S|I\rangle = E_I|I\rangle$
 - $\langle I|m\rangle = \delta_{Im}$
 - $\sum_I |I\rangle\langle I| = \mathbf{1}$

Interakce je dipólová

$$\hat{V} = \hbar \sum_{k,l} f_{k,l} |k\rangle\langle l| = -e\vec{r} \cdot \hat{\vec{E}}$$

Elektromagnetické pole v termodynamické rovnováze

$$i\hbar \frac{\partial \hat{\rho}_C}{\partial t} = \left[(\hat{V} + \hat{H}_S + \hat{H}_R), \hat{\rho}_C \right]$$

Liouvilova rovnice \Rightarrow řídící rovnice \Rightarrow Pauliho rovnice

$$\frac{\partial \varrho_{ji}}{\partial t} = \delta_{ij} \sum_k' w_{ik} \varrho_{kk} - (\Gamma_{ij}^c - i\omega_{ij}) \varrho_{ji}$$

Pravděpodobnosti absorpce-emise fotonu w_{lk} Tlumení a posuv frekvence Γ_{ij}^c

Prostředí soubor kvantových soustav (**dvouhladinových**), nepolární dielektrikum, popisuje SR kvantově (diskrétní systém hladin, vlnová funkce, změna energie → změna konfigurace → změna dipólového momentu)

Interakce rezonančního záření s prostředím – poloklasický popis

- Prostředí** soubor kvantových soustav (**dvouhladinových**), nepolární dielektrikum, popisuje SR kvantově (diskrétní systém hladin, vlnová funkce, změna energie → změna konfigurace → změna dipólového momentu)
- Záření** elektromagnetická vlna, popisují MR klasicky

Interakce rezonančního záření s prostředím – poloklasický popis

Prostředí soubor kvantových soustav (**dvouhladinových**), nepolární dielektrikum, popisuje SR kvantově (diskrétní systém hladin, vlnová funkce, změna energie → změna konfigurace → změna dipólového momentu)

Záření elektromagnetická vlna, popisují MR klasicky

Rezonanční záření frekvence v rezonanci s kvantovým přechodem (Bohrův vztah)

Interakce rezonančního záření s prostředím – poloklasický popis

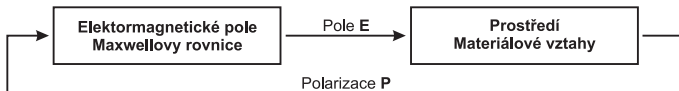
Prostředí soubor kvantových soustav (dvouhlinových), nepolární dielektrikum, popisuje SR kvantově (diskrétní systém hlin, vlnová funkce, změna energie → změna konfigurace → změna dipólového momentu)

Záření elektromagnetická vlna, popisují MR klasicky

Rezonanční záření frekvence v rezonanci s kvantovým přechodem (Bohrův vztah)

Interakce záření s prostředím prostřednictvím polarizace prostředí (dipólového momentu elementárních KS)

$$\hat{W} = -\hat{d} \cdot \vec{E}(t)$$



Pole klasicky + prostředí kvantově → poloklasický popis

Interakce rezonančního záření s prostředím – poloklasický popis

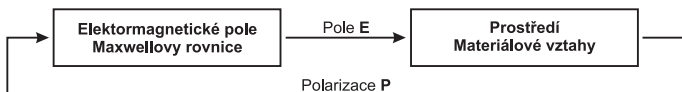
Prostředí soubor kvantových soustav (**dvouhladinových**), nepolární dielektrikum, popisuje SR kvantově (diskrétní systém hladin, vlnová funkce, změna energie → změna konfigurace → změna dipólového momentu)

Záření elektromagnetická vlna, popisují MR klasicky

Rezonanční záření frekvence v rezonanci s kvantovým přechodem (Bohrův vztah)

Interakce záření s **prostředím** prostřednictvím polarizace prostředí (dipólového momentu elementárních KS)

$$\hat{W} = -\hat{\vec{d}} \cdot \vec{E}(t)$$



Pole klasicky + prostředí kvantově → poloklasický popis

Pauliho rovnice popisují chování tlumené kvantové soustavy s pomocí časového vývoje elementů matice hustoty. **Přechodem k makroskopickým veličinám \vec{P} a N získáme rovnice pro odezvu prostředí.**

$$\vec{P} = \bar{N}(\vec{d}_{21}\varrho_{12} + \vec{d}_{12}\varrho_{21})$$

$$N = \bar{N}(\varrho_{22} - \varrho_{11})$$

Rovnice poloklasické teorie interakce hmoty a pole

$$\Delta \vec{E} - \frac{1}{c^2} \frac{\partial^2 \vec{E}}{\partial t^2} = \mu_0 \frac{\partial^2 \vec{P}}{\partial t^2} \quad (1)$$

$$\left[\left(\frac{\partial}{\partial t} + \frac{1}{T_2} \right)^2 + \omega_{21}^2 \right] \vec{P} = -2\omega_{21} \frac{\vec{E}}{\hbar} |\vec{d}_{21}|^2 \textcolor{red}{N} \quad (2)$$

$$\left(\frac{\partial}{\partial t} + \frac{1}{T_1} \right) (\textcolor{red}{N} - N_0) = \frac{2\vec{E}}{\hbar\omega_{21}} \cdot \left(\frac{\partial}{\partial t} + \frac{1}{T_2} \right) \vec{P} \quad (3)$$

$$\Delta \vec{E} - \frac{1}{c^2} \frac{\partial^2 \vec{E}}{\partial t^2} = \mu_0 \frac{\partial^2 \vec{P}}{\partial t^2} \quad (1)$$

$$\left[\left(\frac{\partial}{\partial t} + \frac{1}{T_2} \right)^2 + \omega_{21}^2 \right] \vec{P} = -2\omega_{21} \frac{\vec{E}}{\hbar} |\vec{d}_{21}|^2 \textcolor{red}{N} \quad (2)$$

$$\left(\frac{\partial}{\partial t} + \frac{1}{T_1} \right) (\textcolor{red}{N} - N_0) = \frac{2\vec{E}}{\hbar\omega_{21}} \cdot \left(\frac{\partial}{\partial t} + \frac{1}{T_2} \right) \vec{P} \quad (3)$$

- ▶ Zahrnují všechny kvantové aspekty odezvy dvouhlinové kvantové soustavy

$$\Delta \vec{E} - \frac{1}{c^2} \frac{\partial^2 \vec{E}}{\partial t^2} = \mu_0 \frac{\partial^2 \vec{P}}{\partial t^2} \quad (1)$$

$$\left[\left(\frac{\partial}{\partial t} + \frac{1}{T_2} \right)^2 + \omega_{21}^2 \right] \vec{P} = -2\omega_{21} \frac{\vec{E}}{\hbar} |\vec{d}_{21}|^2 N \quad (2)$$

$$\left(\frac{\partial}{\partial t} + \frac{1}{T_1} \right) (N - N_0) = \frac{2\vec{E}}{\hbar\omega_{21}} \cdot \left(\frac{\partial}{\partial t} + \frac{1}{T_2} \right) \vec{P} \quad (3)$$

- Zahrnují všechny kvantové aspekty odezvy dvouhlinové kvantové soustavy
- Vzájemně vázané nelineární vektorové parciální diferenciální rovnice druhého řádu \Rightarrow vlastně je to celkem 7 rovnic

\vec{E}	Elmag. pole	T_1	Relaxace inverze populace hlin
\vec{P}	Makroskopická polarizace	T_2	Relaxace makroskopické polarizace
N	Inverze populace hlin	ω_{21}	Rezonanční frekvence
N_0	Inverze populace hlin bez vnějšího pole	$ \vec{d}_{21} $	Velikost dipólového momentu

Rovnice pro komplexní analyticky sdružený signál

- ▶ Měřitelné veličiny jsou reprezentovány reálnými čísly nebo reálnými funkcemi

Rovnice pro komplexní analyticky sdružený signál

- ▶ Měřitelné veličiny jsou reprezentovány reálnými čísly nebo reálnými funkcemi
- ▶ Někdy je výhodné reálným signálům přiřadit komplexní funkce – **komplexní analyticky sdružený signál**, přitom jeho reálná část je rovna reálnému (skutečnému) signálu. Např. rovinná elektromagnetická vlna:

$$\vec{E}^{(r)} = \vec{i}_y E_0 \cos(\omega t - kz + \Phi)$$

Rovnice pro komplexní analyticky sdružený signál

- ▶ Měřitelné veličiny jsou reprezentovány reálnými čísly nebo reálnými funkcemi
- ▶ Někdy je výhodné reálným signálům přiřadit komplexní funkce – **komplexní analyticky sdružený signál**, přitom jeho reálná část je rovna reálnému (skutečnému) signálu. Např. rovinná elektromagnetická vlna:

$$\vec{E}^{(r)} = \vec{i}_y E_0 \cos(\omega t - kz + \Phi)$$

- ▶ Příslušný komplexní analyticky sdružený signál:

$$\vec{E} = \vec{i}_y E_0 e^{i(\omega t - kz + \Phi)}.$$

Rovnice pro komplexní analyticky sdružený signál

- Měřitelné veličiny jsou reprezentovány reálnými čísly nebo reálnými funkcemi
- Někdy je výhodné reálným signálům přiřadit komplexní funkce – **komplexní analyticky sdružený signál**, přitom jeho reálná část je rovna reálnému (skutečnému) signálu. Např. rovinná elektromagnetická vlna:

$$\vec{E}^{(r)} = \vec{i}_y E_0 \cos(\omega t - kz + \Phi)$$

- Příslušný komplexní analyticky sdružený signál:

$$\vec{E} = \vec{i}_y E_0 e^{i(\omega t - kz + \Phi)}.$$

- Z komplexního analyticky sdruženého signálu je snadné vyjádřit reálné signály

$$\vec{E}^{(r)} = \frac{1}{2}(\vec{E} + \vec{E}^*), \quad \vec{P}^{(r)} = \frac{1}{2}(\vec{P} + \vec{P}^*)$$

Rovnice pro komplexní analyticky sdružený signál

- Měřitelné veličiny jsou reprezentovány reálnými čísly nebo reálnými funkcemi
- Někdy je výhodné reálným signálům přiřadit komplexní funkce – **komplexní analyticky sdružený signál**, přitom jeho reálná část je rovna reálnému (skutečnému) signálu. Např. rovinná elektromagnetická vlna:

$$\vec{E}^{(r)} = \vec{E}_0 \cos(\omega t - kz + \Phi)$$

- Příslušný komplexní analyticky sdružený signál:

$$\vec{E} = \vec{E}_0 e^{i(\omega t - kz + \Phi)}.$$

- Z komplexního analyticky sdruženého signálu je snadné vyjádřit reálné signály

$$\vec{E}^{(r)} = \frac{1}{2}(\vec{E} + \vec{E}^*), \quad \vec{P}^{(r)} = \frac{1}{2}(\vec{P} + \vec{P}^*)$$

- Po dosazení do soustavy rovnic poloklasické teorie (DC 2.8):

$$\Delta \vec{E} - \frac{1}{c^2} \frac{\partial^2 \vec{E}}{\partial t^2} = \mu_0 \frac{\partial^2 \vec{P}}{\partial t^2}, \quad (4)$$

$$\left[\left(\frac{\partial}{\partial t} + \frac{1}{T_2} \right)^2 + \omega_{21}^2 \right] \vec{P} = -2 \omega_{21} \frac{|\vec{d}_{21}|^2}{\hbar} \vec{E} N, \quad (5)$$

$$\left(\frac{\partial}{\partial t} + \frac{1}{T_1} \right) (N - N_0) = \frac{1}{2\hbar\omega_{21}} \left[\vec{E} \cdot \left(\frac{\partial}{\partial t} + \frac{1}{T_2} \right) \vec{P}^* + \vec{E}^* \cdot \left(\frac{\partial}{\partial t} + \frac{1}{T_2} \right) \vec{P} \right]. \quad (6)$$

Šíření stacionárních signálů v rezonančním prostředí

Stacionární signál monochromatické elektromagnetické pole, jehož amplituda i fáze jsou funkcemi jen prostorových souřadnic.

Šíření stacionárních signálů v rezonančním prostředí

Stacionární signál monochromatické elektromagnetické pole, jehož amplituda i fáze jsou funkциemi jen prostorových souřadnic.

Disperzní prostředí rychlosť šíření záření v tomto prostředí závisí na frekvenci.

Disperze bývá popisována závislostí susceptibility χ na kruhové frekvenci ω .

Šíření stacionárních signálů v rezonančním prostředí

Stacionární signál monochromatické elektromagnetické pole, jehož amplituda i fáze jsou funkциemi jen prostorových souřadnic.

Disperzní prostředí rychlosť šíření záření v tomto prostředí závisí na frekvenci.

Disperze bývá popisována závislostí susceptibility χ na kruhové frekvenci ω .

- ▶ Homogenní, lineární a isotropní prostředí:

$$\vec{P} = \epsilon_0 \chi \vec{E},$$

$$\Delta \vec{E} - \frac{1 + \chi}{c_0^2} \frac{\partial^2 \vec{E}}{\partial t^2} = 0,$$

Šíření stacionárních signálů v rezonančním prostředí

Stacionární signál monochromatické elektromagnetické pole, jehož amplituda i fáze jsou funkциemi jen prostorových souřadnic.

Disperzní prostředí rychlosť šíření záření v tomto prostředí závisí na frekvenci.

Disperze bývá popisována závislostí susceptibility χ na kruhové frekvenci ω .

- ▶ Homogenní, lineární a isotropní prostředí:

$$\vec{P} = \epsilon_0 \chi \vec{E},$$

$$\Delta \vec{E} - \frac{1 + \chi}{c_0^2} \frac{\partial^2 \vec{E}}{\partial t^2} = 0,$$

- ▶ Fázová rychlosť vlny

$$v = \frac{c_0}{\sqrt{(1 + \chi)}}$$

Šíření stacionárních signálů v rezonančním prostředí

Stacionární signál monochromatické elektromagnetické pole, jehož amplituda i fáze jsou funkциemi jen prostorových souřadnic.

Disperzní prostředí rychlosť šíření záření v tomto prostředí závisí na frekvenci.

Disperze bývá popisována závislostí susceptibility χ na kruhové frekvenci ω .

- ▶ Homogenní, lineární a isotropní prostředí:

$$\vec{P} = \epsilon_0 \chi \vec{E},$$

$$\Delta \vec{E} - \frac{1 + \chi}{c_0^2} \frac{\partial^2 \vec{E}}{\partial t^2} = 0,$$

- ▶ Fázová rychlosť vlny

$$v = \frac{c_0}{\sqrt{(1 + \chi)}}$$

- ▶ Index lomu

$$n_{ref} = \sqrt{(1 + \chi)}$$

Disperzní vlastnosti rezonančního prostředí

- Hledáme výraz pro polarizaci ve tvaru $\vec{P} = \varepsilon_0 \chi \vec{E}$. Výchozí rovnice:

$$\left[\left(\frac{\partial}{\partial t} + \frac{1}{T_2} \right)^2 + \omega_{21}^2 \right] \vec{P} = -2\omega_{21} \frac{\vec{E}}{\hbar} |\vec{d}_{21}|^2 N$$

$$\left(\frac{\partial}{\partial t} + \frac{1}{T_1} \right) (N - N_0) = \frac{1}{2\hbar\omega_{21}} \left[\vec{E} \cdot \left(\frac{\partial}{\partial t} + \frac{1}{T_2} \right) \vec{P}^* + \vec{E}^* \cdot \left(\frac{\partial}{\partial t} + \frac{1}{T_2} \right) \vec{P} \right]$$

- ▶ Hledáme výraz pro polarizaci ve tvaru $\vec{P} = \varepsilon_0 \chi \vec{E}$. Výchozí rovnice:

$$\left[\left(\frac{\partial}{\partial t} + \frac{1}{T_2} \right)^2 + \omega_{21}^2 \right] \vec{P} = -2\omega_{21} \frac{\vec{E}}{\hbar} |\vec{d}_{21}|^2 N$$

$$\left(\frac{\partial}{\partial t} + \frac{1}{T_1} \right) (N - N_0) = \frac{1}{2\hbar\omega_{21}} \left[\vec{E} \cdot \left(\frac{\partial}{\partial t} + \frac{1}{T_2} \right) \vec{P}^* + \vec{E}^* \cdot \left(\frac{\partial}{\partial t} + \frac{1}{T_2} \right) \vec{P} \right]$$

- ▶ Uvažujeme slabý signál $\vec{E} \Rightarrow$ bude malá i polarizace \vec{P}

- ▶ Hledáme výraz pro polarizaci ve tvaru $\vec{P} = \varepsilon_0 \chi \vec{E}$. Výchozí rovnice:

$$\left[\left(\frac{\partial}{\partial t} + \frac{1}{T_2} \right)^2 + \omega_{21}^2 \right] \vec{P} = -2\omega_{21} \frac{\vec{E}}{\hbar} |\vec{d}_{21}|^2 N$$

$$\left(\frac{\partial}{\partial t} + \frac{1}{T_1} \right) (N - N_0) = \frac{1}{2\hbar\omega_{21}} \left[\vec{E} \cdot \left(\frac{\partial}{\partial t} + \frac{1}{T_2} \right) \vec{P}^* + \vec{E}^* \cdot \left(\frac{\partial}{\partial t} + \frac{1}{T_2} \right) \vec{P} \right]$$

- ▶ Uvažujeme slabý signál $\vec{E} \Rightarrow$ bude malá i polarizace \vec{P}
- ▶ Inverze populace hladin N se blíží své ustálené hodnotě N_0

- Hledáme výraz pro polarizaci ve tvaru $\vec{P} = \varepsilon_0 \chi \vec{E}$. Výchozí rovnice:

$$\left[\left(\frac{\partial}{\partial t} + \frac{1}{T_2} \right)^2 + \omega_{21}^2 \right] \vec{P} = -2\omega_{21} \frac{\vec{E}}{\hbar} |\vec{d}_{21}|^2 N$$

$$\left(\frac{\partial}{\partial t} + \frac{1}{T_1} \right) (N - N_0) = \frac{1}{2\hbar\omega_{21}} \left[\vec{E} \cdot \left(\frac{\partial}{\partial t} + \frac{1}{T_2} \right) \vec{P}^* + \vec{E}^* \cdot \left(\frac{\partial}{\partial t} + \frac{1}{T_2} \right) \vec{P} \right]$$

- Uvažujeme slabý signál $\vec{E} \Rightarrow$ bude malá i polarizace \vec{P}
- Inverze populace hladin N se blíží své ustálené hodnotě N_0
- Šíření harmonických signálů s kruhovou frekvencí ω ve směru osy z :

$$\vec{E} = \vec{E}_0(z, \omega) e^{i\omega t}, \quad \vec{P} = \vec{P}_0(z, \omega) e^{i\omega t}$$

Disperzní vlastnosti rezonančního prostředí

- Hledáme výraz pro polarizaci ve tvaru $\vec{P} = \varepsilon_0 \chi \vec{E}$. Výchozí rovnice:

$$\left[\left(\frac{\partial}{\partial t} + \frac{1}{T_2} \right)^2 + \omega_{21}^2 \right] \vec{P} = -2\omega_{21} \frac{\vec{E}}{\hbar} |\vec{d}_{21}|^2 N$$

$$\left(\frac{\partial}{\partial t} + \frac{1}{T_1} \right) (N - N_0) = \frac{1}{2\hbar\omega_{21}} \left[\vec{E} \cdot \left(\frac{\partial}{\partial t} + \frac{1}{T_2} \right) \vec{P}^* + \vec{E}^* \cdot \left(\frac{\partial}{\partial t} + \frac{1}{T_2} \right) \vec{P} \right]$$

- Uvažujeme slabý signál $\vec{E} \Rightarrow$ bude malá i polarizace \vec{P}
- Inverze populace hladin N se blíží své ustálené hodnotě N_0
- Šíření harmonických signálů s kruhovou frekvencí ω ve směru osy z :

$$\vec{E} = \vec{E}_0(z, \omega) e^{i\omega t}, \quad \vec{P} = \vec{P}_0(z, \omega) e^{i\omega t}$$

- Odezvu prostředí popisuje rovnice pro polarizaci:

$$\left[\left(\frac{\partial}{\partial t} + \frac{1}{T_2} \right)^2 + \omega_{21}^2 \right] \vec{P} \doteq -2\omega_{21} \frac{\vec{E}}{\hbar} |\vec{d}_{21}|^2 N_0$$

- Hledáme výraz pro polarizaci ve tvaru $\vec{P} = \varepsilon_0 \chi \vec{E}$. Výchozí rovnice:

$$\left[\left(\frac{\partial}{\partial t} + \frac{1}{T_2} \right)^2 + \omega_{21}^2 \right] \vec{P} = -2\omega_{21} \frac{\vec{E}}{\hbar} |\vec{d}_{21}|^2 N$$

$$\left(\frac{\partial}{\partial t} + \frac{1}{T_1} \right) (N - N_0) = \frac{1}{2\hbar\omega_{21}} \left[\vec{E} \cdot \left(\frac{\partial}{\partial t} + \frac{1}{T_2} \right) \vec{P}^* + \vec{E}^* \cdot \left(\frac{\partial}{\partial t} + \frac{1}{T_2} \right) \vec{P} \right]$$

- Uvažujeme slabý signál $\vec{E} \Rightarrow$ bude malá i polarizace \vec{P}
- Inverze populace hladin N se blíží své ustálené hodnotě N_0
- Šíření harmonických signálů s kruhovou frekvencí ω ve směru osy z :

$$\vec{E} = \vec{E}_0(z, \omega) e^{i\omega t}, \quad \vec{P} = \vec{P}_0(z, \omega) e^{i\omega t}$$

- Odezvu prostředí popisuje rovnice pro polarizaci:

$$\left[\left(\frac{\partial}{\partial t} + \frac{1}{T_2} \right)^2 + \omega_{21}^2 \right] \vec{P} \doteq -2\omega_{21} \frac{\vec{E}}{\hbar} |\vec{d}_{21}|^2 N_0$$

- Pro susceptibilitu dostaneme ($\partial \vec{P} / \partial t = i\omega \vec{P}$):

$$\chi(\omega) = \frac{\vec{P}_0(z, \omega)}{\varepsilon_0 \vec{E}_0(z, \omega)} \doteq -\frac{2}{\hbar \varepsilon_0} \frac{\omega_{21} |\vec{d}_{21}|^2 N_0}{(i\omega + \frac{1}{T_2})^2 + \omega_{21}^2}.$$

- Hledáme výraz pro polarizaci ve tvaru $\vec{P} = \varepsilon_0 \chi \vec{E}$. Výchozí rovnice:

$$\left[\left(\frac{\partial}{\partial t} + \frac{1}{T_2} \right)^2 + \omega_{21}^2 \right] \vec{P} = -2\omega_{21} \frac{\vec{E}}{\hbar} |\vec{d}_{21}|^2 N$$

$$\left(\frac{\partial}{\partial t} + \frac{1}{T_1} \right) (N - N_0) = \frac{1}{2\hbar\omega_{21}} \left[\vec{E} \cdot \left(\frac{\partial}{\partial t} + \frac{1}{T_2} \right) \vec{P}^* + \vec{E}^* \cdot \left(\frac{\partial}{\partial t} + \frac{1}{T_2} \right) \vec{P} \right]$$

- Uvažujeme slabý signál $\vec{E} \Rightarrow$ bude malá i polarizace \vec{P}
- Inverze populace hladin N se blíží své ustálené hodnotě N_0
- Šíření harmonických signálů s kruhovou frekvencí ω ve směru osy z :

$$\vec{E} = \vec{E}_0(z, \omega) e^{i\omega t}, \quad \vec{P} = \vec{P}_0(z, \omega) e^{i\omega t}$$

- Odezvu prostředí popisuje rovnice pro polarizaci:

$$\left[\left(\frac{\partial}{\partial t} + \frac{1}{T_2} \right)^2 + \omega_{21}^2 \right] \vec{P} \doteq -2\omega_{21} \frac{\vec{E}}{\hbar} |\vec{d}_{21}|^2 N_0$$

- Pro susceptibilitu dostaneme ($\partial \vec{P} / \partial t = i\omega \vec{P}$):

$$\chi(\omega) = \frac{\vec{P}_0(z, \omega)}{\varepsilon_0 \vec{E}_0(z, \omega)} \doteq -\frac{2}{\hbar \varepsilon_0} \frac{\omega_{21} |\vec{d}_{21}|^2 N_0}{(i\omega + \frac{1}{T_2})^2 + \omega_{21}^2}.$$

- Susceptibilita $\chi(\omega)$ – komplexní, frekvenčně závislá veličina

- ▶ Pro susceptibilitu máme:

$$\chi(\omega) \doteq -\frac{2}{\hbar \varepsilon_0} \frac{\omega_{21} |\vec{d}_{21}|^2 N_0}{(i\omega + \frac{1}{T_2})^2 + \omega_{21}^2}.$$

- ▶ Pro susceptibilitu máme:

$$\chi(\omega) \doteq -\frac{2}{\hbar \varepsilon_0} \frac{\omega_{21} |\vec{d}_{21}|^2 N_0}{(i\omega + \frac{1}{T_2})^2 + \omega_{21}^2}.$$

- ▶ Pro velké blízké frekvence ω_{21} a ω ($\omega_{21} + \omega \doteq 2\omega_{21}$, $\omega - \omega_{21} = \Delta\omega$):

$$\chi(\Delta\omega) \doteq -\frac{\frac{|\vec{d}_{21}|^2 N_0}{\hbar \varepsilon_0}}{-\Delta\omega + \frac{i}{T_2} + \frac{1}{2T_2^2 \omega_{21}}}$$

Disperzní vlastnosti rezonančního prostředí

- ▶ Pro susceptibilitu máme:

$$\chi(\omega) \doteq -\frac{2}{\hbar \varepsilon_0} \frac{\omega_{21} |\vec{d}_{21}|^2 N_0}{(i\omega + \frac{1}{T_2})^2 + \omega_{21}^2}.$$

- ▶ Pro velké blízké frekvence ω_{21} a ω ($\omega_{21} + \omega \doteq 2\omega_{21}$, $\omega - \omega_{21} = \Delta\omega$):

$$\chi(\Delta\omega) \doteq -\frac{\frac{|\vec{d}_{21}|^2 N_0}{\hbar \varepsilon_0}}{-\Delta\omega + \frac{i}{T_2} + \frac{1}{2T_2^2 \omega_{21}}}$$

- ▶ Předpokládáme $T_2 \gg \omega_{21}^{-1}$ ($T_2 \sim 10^{-9}$ s, $\omega_{21} \sim 10^{15}$ s⁻¹)

$$\chi(\Delta\omega) \doteq -\frac{\frac{|\vec{d}_{21}|^2 N_0}{\hbar \varepsilon_0}}{-\Delta\omega + \frac{i}{T_2}}$$

- ▶ Pro susceptibilitu máme:

$$\chi(\omega) \doteq -\frac{2}{\hbar \varepsilon_0} \frac{\omega_{21} |\vec{d}_{21}|^2 N_0}{(i\omega + \frac{1}{T_2})^2 + \omega_{21}^2}.$$

- ▶ Pro velké blízké frekvence ω_{21} a ω ($\omega_{21} + \omega \doteq 2\omega_{21}$, $\omega - \omega_{21} = \Delta\omega$):

$$\chi(\Delta\omega) \doteq -\frac{\frac{|\vec{d}_{21}|^2 N_0}{\hbar \varepsilon_0}}{-\Delta\omega + \frac{i}{T_2} + \frac{1}{2T_2^2 \omega_{21}}}$$

- ▶ Předpokládáme $T_2 \gg \omega_{21}^{-1}$ ($T_2 \sim 10^{-9}$ s, $\omega_{21} \sim 10^{15}$ s⁻¹)

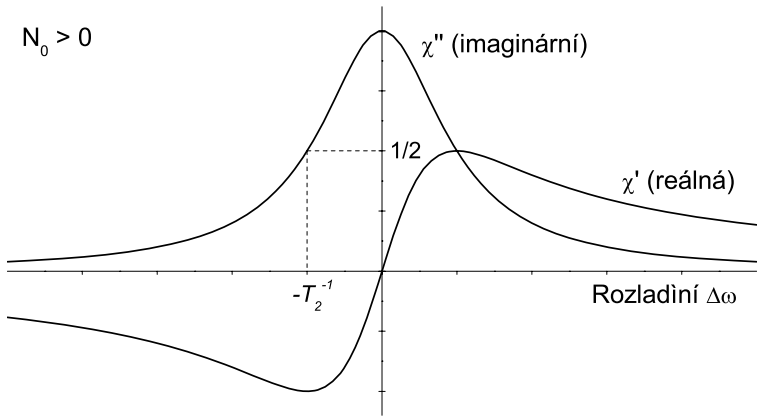
$$\chi(\Delta\omega) \doteq -\frac{\frac{|\vec{d}_{21}|^2 N_0}{\hbar \varepsilon_0}}{-\Delta\omega + \frac{i}{T_2}}$$

- ▶ Susceptibilitu rozložíme na reálnou a imaginární složku (DC 2.10):

$$\chi(\Delta\omega) = \chi'(\Delta\omega) + i\chi''(\Delta\omega)$$

$$\chi'(\Delta\omega) = \frac{\frac{|\vec{d}_{21}|^2 N_0}{\hbar \varepsilon_0} \Delta\omega}{(\Delta\omega)^2 + (\frac{1}{T_2})^2}, \quad \chi''(\Delta\omega) = \frac{\frac{|\vec{d}_{21}|^2 N_0}{\hbar \varepsilon_0} \frac{1}{T_2}}{(\Delta\omega)^2 + (\frac{1}{T_2})^2}.$$

Disperzní vlastnosti rezonančního prostředí



$$\chi'(\omega) = \frac{\frac{|\bar{d}_{21}|^2 N_0}{\hbar \varepsilon_0} \Delta\omega}{(\Delta\omega)^2 + (\frac{1}{T_2})^2}, \quad \chi''(\omega) = \frac{\frac{|\bar{d}_{21}|^2 N_0}{\hbar \varepsilon_0} \frac{1}{T_2}}{(\Delta\omega)^2 + (\frac{1}{T_2})^2}.$$

Šíření rovinné vlny

- ▶ Obecný popis šíření udává vlnová rovnice

$$\Delta \vec{E} - \frac{1}{c_0^2} \frac{\partial^2 \vec{E}}{\partial t^2} = \mu_0 \epsilon_0 \chi \frac{\partial^2 \vec{E}}{\partial t^2}$$

- ▶ Obecný popis šíření udává vlnová rovnice

$$\Delta \vec{E} - \frac{1}{c_0^2} \frac{\partial^2 \vec{E}}{\partial t^2} = \mu_0 \epsilon_0 \chi \frac{\partial^2 \vec{E}}{\partial t^2}$$

- ▶ Šíření slabého **harmonického signálu** je popsáno řešením homogenní rovnice:

$$\Delta \vec{E} + \frac{\omega^2}{c_0^2} \vec{E} = -\chi \frac{\omega^2}{c_0^2} \vec{E}$$

- ▶ Obecný popis šíření udává vlnová rovnice

$$\Delta \vec{E} - \frac{1}{c_0^2} \frac{\partial^2 \vec{E}}{\partial t^2} = \mu_0 \epsilon_0 \chi \frac{\partial^2 \vec{E}}{\partial t^2}$$

- ▶ Šíření slabého **harmonického signálu** je popsáno řešením homogenní rovnice:

$$\Delta \vec{E} + \frac{\omega^2}{c_0^2} \vec{E} = -\chi \frac{\omega^2}{c_0^2} \vec{E}$$

- ▶ Předpokládáme řešení ve tvaru rovinné lineárně polarizované vlny:

$$\vec{E} = i_y E_0 \exp [i(\omega t - kz + \Phi)]$$

- ▶ Obecný popis šíření udává vlnová rovnice

$$\Delta \vec{E} - \frac{1}{c_0^2} \frac{\partial^2 \vec{E}}{\partial t^2} = \mu_0 \epsilon_0 \chi \frac{\partial^2 \vec{E}}{\partial t^2}$$

- ▶ Šíření slabého **harmonického signálu** je popsáno řešením homogenní rovnice:

$$\Delta \vec{E} + \frac{\omega^2}{c_0^2} \vec{E} = -\chi \frac{\omega^2}{c_0^2} \vec{E}$$

- ▶ Předpokládáme řešení ve tvaru rovinné lineárně polarizované vlny:

$$\vec{E} = \vec{i}_y E_0 \exp [i(\omega t - kz + \Phi)]$$

- ▶ Nutná podmínka pro existenci řešení v tomto tvaru, tzv. *disperzní vztah*:

$$-k^2 + \frac{\omega^2}{c^2} (1 + \chi' + i\chi'') = 0$$

- ▶ Obecný popis šíření udává vlnová rovnice

$$\Delta \vec{E} - \frac{1}{c_0^2} \frac{\partial^2 \vec{E}}{\partial t^2} = \mu_0 \epsilon_0 \chi \frac{\partial^2 \vec{E}}{\partial t^2}$$

- ▶ Šíření slabého **harmonického signálu** je popsáno řešením homogenní rovnice:

$$\Delta \vec{E} + \frac{\omega^2}{c_0^2} \vec{E} = -\chi \frac{\omega^2}{c_0^2} \vec{E}$$

- ▶ Předpokládáme řešení ve tvaru rovinné lineárně polarizované vlny:

$$\vec{E} = \vec{i}_y E_0 \exp [i(\omega t - kz + \Phi)]$$

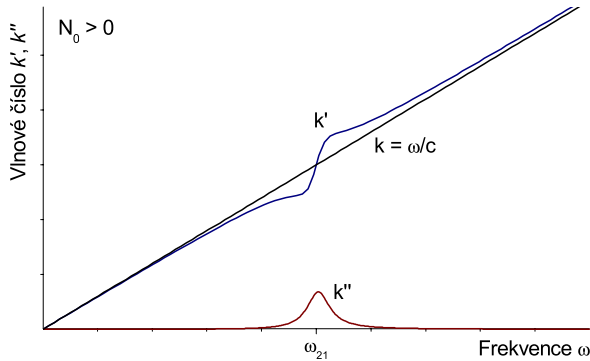
- ▶ Nutná podmínka pro existenci řešení v tomto tvaru, tzv. *disperzní vztah*:

$$-k^2 + \frac{\omega^2}{c^2} (1 + \chi' + i\chi'') = 0$$

- ▶ k je obecně komplexní číslo $k = k' + i k''$, pro $k' \gg k''$:

$$k' = \frac{\omega}{c} \sqrt{(1 + \chi')}, \quad k'' = \frac{1}{2} \frac{\omega}{c} \frac{\chi''}{\sqrt{(1 + \chi')}}.$$

Šíření rovinné vlny



$$k' = \frac{\omega}{c} \sqrt{(1 + \chi')}, \quad k'' = \frac{1}{2} \frac{\omega}{c} \frac{\chi''}{\sqrt{(1 + \chi')}}$$

$$\chi'(\omega) = \frac{\frac{|\vec{d}_{21}|^2 N_0}{\hbar \epsilon_0} \Delta \omega}{(\Delta \omega)^2 + (\frac{1}{T_2})^2}, \quad \chi''(\omega) = \frac{\frac{|\vec{d}_{21}|^2 N_0}{\hbar \epsilon_0} \frac{1}{T_2}}{(\Delta \omega)^2 + (\frac{1}{T_2})^2}.$$

- ▶ Komplexní intenzita elektrického pole:

$$\vec{E} = i_y E_0 e^{k'' z} e^{i(\omega t - k' z + \Phi)}$$

- ▶ Komplexní intenzita elektrického pole:

$$\vec{E} = \vec{i}_y E_0 e^{k'' z} e^{i(\omega t - k' z + \Phi)}$$

- ▶ Příslušné reálné pole:

$$\vec{E}^{(r)} = \vec{i}_y E_0 e^{k'' z} \cos(\omega t - k' z + \Phi)$$

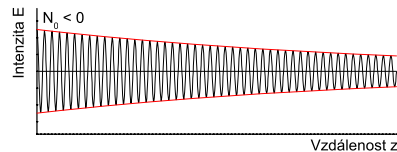
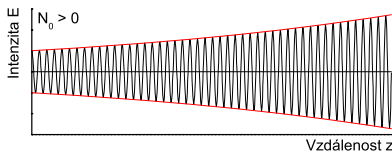
- ▶ Komplexní intenzita elektrického pole:

$$\vec{E} = \vec{I}_y E_0 e^{k'' z} e^{i(\omega t - k' z + \Phi)}$$

- ▶ Příslušné reálné pole:

$$\vec{E}^{(r)} = \vec{I}_y E_0 e^{k'' z} \cos(\omega t - k' z + \Phi)$$

- ▶ V závislosti na znaménku k'' (znaménko N_0) amplituda vlny budé exponenciálně vzrůstá (+) nebo klesá (-).



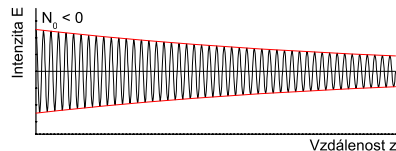
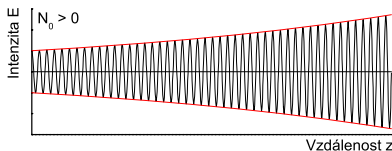
- ▶ Komplexní intenzita elektrického pole:

$$\vec{E} = \vec{I}_y E_0 e^{k'' z} e^{i(\omega t - k' z + \Phi)}$$

- ▶ Příslušné reálné pole:

$$\vec{E}^{(r)} = \vec{I}_y E_0 e^{k'' z} \cos(\omega t - k' z + \Phi)$$

- ▶ V závislosti na znaménku k'' (znaménko N_0) amplituda vlny bud' exponenciálně vzrůstá (+) nebo klesá (-).



- ▶ Plošná hustota výkonu $I = \frac{1}{2} c_0 \epsilon_0 |\vec{E}|^2$:

$$I(z) = I_0 e^{g_0 z}$$

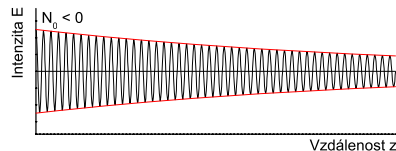
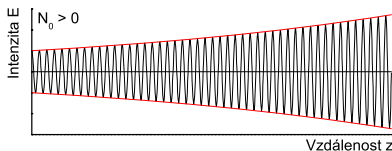
- ▶ Komplexní intenzita elektrického pole:

$$\vec{E} = \vec{I}_y E_0 e^{k'' z} e^{i(\omega t - k' z + \Phi)}$$

- ▶ Příslušné reálné pole:

$$\vec{E}^{(r)} = \vec{I}_y E_0 e^{k'' z} \cos(\omega t - k' z + \Phi)$$

- ▶ V závislosti na znaménku k'' (znaménko N_0) amplituda vlny budé exponenciálně vzrůstá (+) nebo klesá (-).



- ▶ Plošná hustota výkonu $I = \frac{1}{2} c_0 \epsilon_0 |\vec{E}|^2$:

$$I(z) = I_0 e^{g_0 z}$$

- ▶ I_0 je intenzita záření v rovině $z = 0$ a $g_0 = 2k''$ je součinitel zesílení slabého signálu.

- ▶ Spektrální závislost součinitele zesílení (absorpce):

$$g_0(\omega) = 2k''(\omega) = \frac{\omega_{21} |\vec{d}_{21}|^2 N_0}{\hbar c \varepsilon_0} \frac{\frac{1}{T_2}}{(\Delta\omega)^2 + (\frac{1}{T_2})^2} = g_0 \frac{\left(\frac{1}{T_2}\right)^2}{(\Delta\omega)^2 + \left(\frac{1}{T_2}\right)^2}$$

- ▶ Spektrální závislost součinitele zesílení (absorpce):

$$g_0(\omega) = 2k''(\omega) = \frac{\omega_{21} |\vec{d}_{21}|^2 N_0}{\hbar c \varepsilon_0} \frac{\frac{1}{T_2}}{(\Delta\omega)^2 + (\frac{1}{T_2})^2} = g_0 \frac{\left(\frac{1}{T_2}\right)^2}{(\Delta\omega)^2 + \left(\frac{1}{T_2}\right)^2}$$

- ▶ Šířka spektrální čáry \leftrightarrow převrácená hodnota doby relaxace polarizace T_2

- ▶ Spektrální závislost součinitele zesílení (absorpce):

$$g_0(\omega) = 2k''(\omega) = \frac{\omega_{21} |\vec{d}_{21}|^2 N_0}{\hbar c \varepsilon_0} \frac{\frac{1}{T_2}}{(\Delta\omega)^2 + (\frac{1}{T_2})^2} = g_0 \frac{\left(\frac{1}{T_2}\right)^2}{(\Delta\omega)^2 + \left(\frac{1}{T_2}\right)^2}$$

- ▶ Šířka spektrální čáry \leftrightarrow převrácená hodnota doby relaxace polarizace T_2
- ▶ Přesná rezonance ($\Delta\omega = 0$):

$$g_0 = \frac{\omega_{21} |\vec{d}_{21}|^2}{\hbar c \varepsilon_0} N_0 T_2 = \sigma N_0$$

- ▶ Spektrální závislost součinitele zesílení (absorpce):

$$g_0(\omega) = 2k''(\omega) = \frac{\omega_{21} |\vec{d}_{21}|^2 N_0}{\hbar c \varepsilon_0} \frac{\frac{1}{T_2}}{(\Delta\omega)^2 + (\frac{1}{T_2})^2} = g_0 \frac{\left(\frac{1}{T_2}\right)^2}{(\Delta\omega)^2 + \left(\frac{1}{T_2}\right)^2}$$

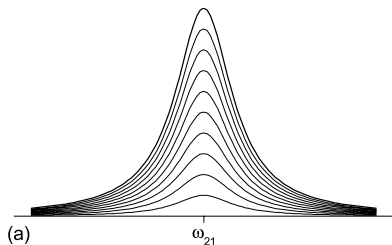
- ▶ Šířka spektrální čáry \leftrightarrow převrácená hodnota doby relaxace polarizace T_2
- ▶ Přesná rezonance ($\Delta\omega = 0$):

$$g_0 = \frac{\omega_{21} |\vec{d}_{21}|^2}{\hbar c \varepsilon_0} N_0 T_2 = \sigma N_0$$

- ▶ Účinný průřez pro stimulovanou emisi (absorpci):

$$\sigma = \frac{\omega_{21} |\vec{d}_{21}|^2 T_2}{\hbar c \varepsilon_0}$$

Homogenní rozšíření

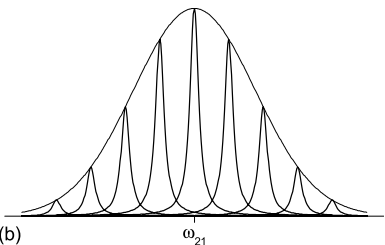


(a)

Jednotlivé kvantové soustavy mají **stejnou** rezonanční frekvenci ω_{21} . Výsledný spektrální profil se shoduje se spektrem jedné KS.

Lorentzovská křivka

Nehomogenní rozšíření



(b)

Jednotlivé kvantové soustavy mají **různé** rezonanční frekvence. Výsledný spektrální profil je superpozicí příspěvku od všech KS.

Gaussovská křivka

- ▶ Předpokládáme harmonickou vlnu a přesnou rezonanci $\omega = \omega_{21}$. Z rovnice

$$\left[\left(\frac{\partial}{\partial t} + \frac{1}{T_2} \right)^2 + \omega_{21}^2 \right] \vec{P} = -2 \omega_{21} \frac{|\vec{d}_{21}|^2}{\hbar} \vec{E} N$$

dostaneme:

$$\vec{P} = -\frac{2\omega_{21} T_2 |\vec{d}_{21}|^2}{\hbar(2i\omega_{21} + \frac{1}{T_2})} N \vec{E}$$

Saturace zesílení

- ▶ Předpokládáme harmonickou vlnu a přesnou rezonanci $\omega = \omega_{21}$. Z rovnice

$$\left[\left(\frac{\partial}{\partial t} + \frac{1}{T_2} \right)^2 + \omega_{21}^2 \right] \vec{P} = -2 \omega_{21} \frac{|\vec{d}_{21}|^2}{\hbar} \vec{E} N$$

dostaneme:

$$\vec{P} = -\frac{2\omega_{21} T_2 |\vec{d}_{21}|^2}{\hbar(2i\omega_{21} + \frac{1}{T_2})} N \vec{E}$$

- ▶ Po dosazení do rovnice

$$\left(\frac{\partial}{\partial t} + \frac{1}{T_1} \right) (N - N_0) = \frac{1}{2\hbar\omega_{21}} \left[\vec{E} \cdot \left(\frac{\partial}{\partial t} + \frac{1}{T_2} \right) \vec{P}^* + \vec{E}^* \cdot \left(\frac{\partial}{\partial t} + \frac{1}{T_2} \right) \vec{P} \right]$$

a pro $\omega_{21} \gg \frac{1}{T_2}$:

$$\frac{1}{T_1} (N - N_0) = -\frac{|\vec{d}_{21}|^2}{\hbar^2} T_2 |\vec{E}|^2 N$$

Saturace zesílení

- ▶ Předpokládáme harmonickou vlnu a přesnou rezonanci $\omega = \omega_{21}$. Z rovnice

$$\left[\left(\frac{\partial}{\partial t} + \frac{1}{T_2} \right)^2 + \omega_{21}^2 \right] \vec{P} = -2 \omega_{21} \frac{|\vec{d}_{21}|^2}{\hbar} \vec{E} N$$

dostaneme:

$$\vec{P} = -\frac{2\omega_{21} T_2 |\vec{d}_{21}|^2}{\hbar(2i\omega_{21} + \frac{1}{T_2})} N \vec{E}$$

- ▶ Po dosazení do rovnice

$$\left(\frac{\partial}{\partial t} + \frac{1}{T_1} \right) (N - N_0) = \frac{1}{2\hbar\omega_{21}} \left[\vec{E} \cdot \left(\frac{\partial}{\partial t} + \frac{1}{T_2} \right) \vec{P}^* + \vec{E}^* \cdot \left(\frac{\partial}{\partial t} + \frac{1}{T_2} \right) \vec{P} \right]$$

a pro $\omega_{21} \gg \frac{1}{T_2}$:

$$\frac{1}{T_1} (N - N_0) = -\frac{|\vec{d}_{21}|^2}{\hbar^2} T_2 |\vec{E}|^2 N$$

- ▶ Ustálená hodnota rozdílu populace hladin:

$$N = \frac{N_0}{1 + \frac{|\vec{d}_{21}|^2}{\hbar^2} T_2 T_1 |\vec{E}|^2}.$$

- ▶ Zavedeme saturační intenzitu – materiálový parametr

$$I_s = \frac{c}{2} \frac{\hbar^2 \epsilon_0}{|\vec{d}_{21}|^2 T_2 T_1},$$

- ▶ Zavedeme saturační intenzitu – materiálový parametr

$$I_s = \frac{c}{2} \frac{\hbar^2 \epsilon_0}{|\vec{d}_{21}|^2 T_2 T_1},$$

- ▶ Saturace inverze populace hladin (DC 2.11 a 2.12)

$$N = \frac{N_0}{1 + \frac{I}{I_s}},$$

- ▶ Zavedeme saturační intenzitu – materiálový parametr

$$I_s = \frac{c}{2} \frac{\hbar^2 \epsilon_0}{|\vec{d}_{21}|^2 T_2 T_1},$$

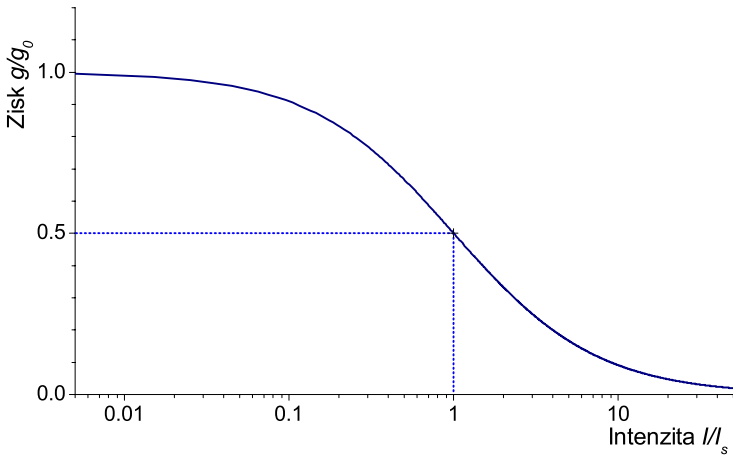
- ▶ Saturace inverze populace hladin (DC 2.11 a 2.12)

$$N = \frac{N_0}{1 + \frac{I}{I_s}},$$

- ▶ Saturace zisku (zesílení) je tedy:

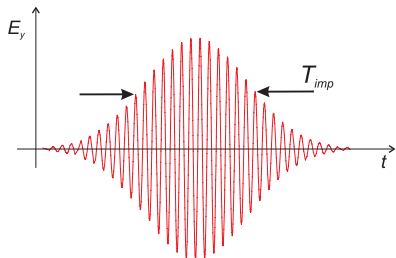
$$g = \frac{g_0}{1 + \frac{I}{I_s}}.$$

Saturace zesílení



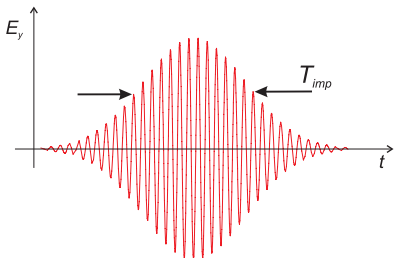
- ▶ Signál o intenzitě $I \ll I_s$ je součinitel zesílení roven $\sim g_0$. Signál, jehož intenzita je srovnatelná, nebo podstatně větší než I_s , je zesilován méně.

Impuls elektromagnetického pole s pomalu proměnnou obálkou



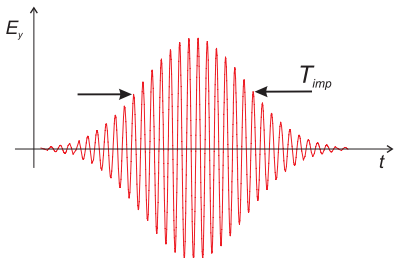
- ▶ Lineárně polarizovaná harmonická vlna

Impuls elektromagnetického pole s pomalu proměnnou obálkou



- ▶ Lineárně polarizovaná harmonická vlna
- ▶ Doba trvání pulsu $T \gg$ doba jednoho kmitu pole $2\pi/\omega$

Impuls elektromagnetického pole s pomalu proměnnou obálkou



- ▶ Lineárně polarizovaná harmonická vlna
- ▶ Doba trvání pulsu $T \gg$ doba jednoho kmitu pole $2\pi/\omega$
- ▶ Vektor makroskopické polarizace a vektor elektromagnetického pole \Rightarrow pomalu proměnné amplitudy (v čase i v prostoru)

Impuls elektromagnetického pole s pomalu proměnnou obálkou

- Předpokládáme následující průběh pole a polarizace (pomalu proměnná amplituda s harmonickou „nosnou“ vlnou):

$$\vec{E} = \vec{I}_y \mathcal{E}(z, t) \cos [\omega t - kz + \Phi(z, t)]$$

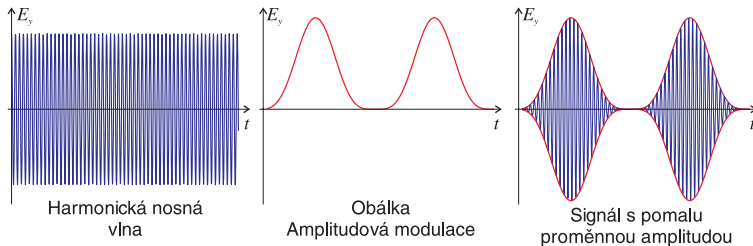
$$\vec{P} = \vec{I}_y \{ \mathcal{P}_1(z, t) \cos [\omega t - kz + \Phi(z, t)] + \mathcal{P}_2(z, t) \sin [\omega t - kz + \Phi(z, t)] \}$$

Impuls elektromagnetického pole s pomalu proměnnou obálkou

- Předpokládáme následující průběh pole a polarizace (pomalu proměnná amplituda s harmonickou „nosnou“ vlnou):

$$\vec{E} = \vec{I}_y \mathcal{E}(z, t) \cos [\omega t - kz + \Phi(z, t)]$$

$$\vec{P} = \vec{I}_y \{ \mathcal{P}_1(z, t) \cos [\omega t - kz + \Phi(z, t)] + \mathcal{P}_2(z, t) \sin [\omega t - kz + \Phi(z, t)] \}$$

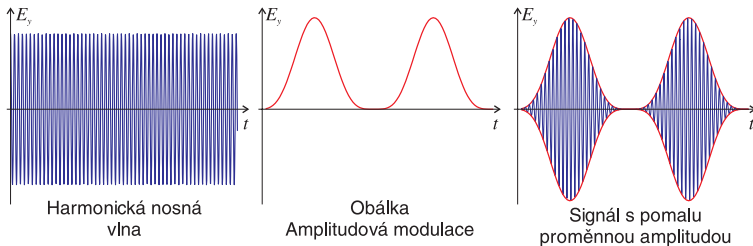


Impuls elektromagnetického pole s pomalu proměnnou obálkou

- Předpokládáme následující průběh pole a polarizace (pomalu proměnná amplituda s harmonickou „nosnou“ vlnou):

$$\vec{E} = \vec{I}_y \mathcal{E}(z, t) \cos [\omega t - kz + \Phi(z, t)]$$

$$\vec{P} = \vec{I}_y \{ \mathcal{P}_1(z, t) \cos [\omega t - kz + \Phi(z, t)] + \mathcal{P}_2(z, t) \sin [\omega t - kz + \Phi(z, t)] \}$$



$$\left| \frac{\partial \mathcal{E}}{\partial t} \frac{1}{\mathcal{E}} \right| \ll \omega, \quad \left| \frac{\partial \Phi}{\partial t} \right| \ll \omega, \quad \left| \frac{\partial \mathcal{E}}{\partial z} \frac{1}{\mathcal{E}} \right| \ll k, \quad \left| \frac{\partial \Phi}{\partial z} \right| \ll k, \quad \left| \frac{\partial \mathcal{P}}{\partial t} \frac{1}{\mathcal{P}} \right| \ll \omega$$
$$\left| \frac{\partial \mathcal{P}_1}{\partial t} \frac{1}{\mathcal{P}_1} \right| \ll \omega, \quad \left| \frac{\partial \mathcal{P}_2}{\partial t} \frac{1}{\mathcal{P}_2} \right| \ll \omega$$

Rovnice pro pomalu proměnné amplitudy

$$\left\{ \frac{\partial \Phi}{\partial z} + \frac{1}{c} \frac{\partial \Phi}{\partial t} + \Delta k \right\} \mathcal{E} = \frac{\mu_0 \omega_{21} c}{2} \mathcal{P}_1 \quad (7)$$

$$\frac{\partial \mathcal{E}}{\partial z} + \frac{1}{c} \frac{\partial \mathcal{E}}{\partial t} = \frac{\mu_0 \omega_{21} c}{2} \mathcal{P}_2 \quad (8)$$

$$\frac{\partial \mathcal{P}_1}{\partial t} = -\frac{\mathcal{P}_1}{T_2} - \left(\Delta \omega + \frac{\partial \Phi}{\partial t} \right) \mathcal{P}_2 \quad (9)$$

$$\frac{\partial \mathcal{P}_2}{\partial t} = -\frac{\mathcal{P}_2}{T_2} + \left(\Delta \omega + \frac{\partial \Phi}{\partial t} \right) \mathcal{P}_1 - \frac{|d_{21}|^2}{\hbar} \mathcal{E} N \quad (10)$$

$$\frac{\partial N}{\partial t} = -\frac{1}{T_1} (N - N_0) + \frac{1}{\hbar} \mathcal{E} \mathcal{P}_2 \quad (11)$$

kde $\Delta \omega = \omega - \omega_{21}$ a $\Delta k = \omega/c - k$.

Rovnice pro pomalu proměnné amplitudy

$$\left\{ \frac{\partial \Phi}{\partial z} + \frac{1}{c} \frac{\partial \Phi}{\partial t} + \Delta k \right\} \mathcal{E} = \frac{\mu_0 \omega_{21} c}{2} \mathcal{P}_1 \quad (7)$$

$$\frac{\partial \mathcal{E}}{\partial z} + \frac{1}{c} \frac{\partial \mathcal{E}}{\partial t} = \frac{\mu_0 \omega_{21} c}{2} \mathcal{P}_2 \quad (8)$$

$$\frac{\partial \mathcal{P}_1}{\partial t} = -\frac{\mathcal{P}_1}{T_2} - \left(\Delta \omega + \frac{\partial \Phi}{\partial t} \right) \mathcal{P}_2 \quad (9)$$

$$\frac{\partial \mathcal{P}_2}{\partial t} = -\frac{\mathcal{P}_2}{T_2} + \left(\Delta \omega + \frac{\partial \Phi}{\partial t} \right) \mathcal{P}_1 - \frac{|d_{21}|^2}{\hbar} \mathcal{E} N \quad (10)$$

$$\frac{\partial N}{\partial t} = -\frac{1}{T_1} (N - N_0) + \frac{1}{\hbar} \mathcal{E} \mathcal{P}_2 \quad (11)$$

kde $\Delta \omega = \omega - \omega_{21}$ a $\Delta k = \omega/c - k$.

- Tato uzavřená **soustava** pěti parciálních diferenciálních rovnic **prvního řádu je matematickým modelem koherentního šíření záření.**

Rovnice pro pomalu proměnné amplitudy

$$\left\{ \frac{\partial \Phi}{\partial z} + \frac{1}{c} \frac{\partial \Phi}{\partial t} + \Delta k \right\} \mathcal{E} = \frac{\mu_0 \omega_{21} c}{2} \mathcal{P}_1 \quad (7)$$

$$\frac{\partial \mathcal{E}}{\partial z} + \frac{1}{c} \frac{\partial \mathcal{E}}{\partial t} = \frac{\mu_0 \omega_{21} c}{2} \mathcal{P}_2 \quad (8)$$

$$\frac{\partial \mathcal{P}_1}{\partial t} = -\frac{\mathcal{P}_1}{T_2} - \left(\Delta \omega + \frac{\partial \Phi}{\partial t} \right) \mathcal{P}_2 \quad (9)$$

$$\frac{\partial \mathcal{P}_2}{\partial t} = -\frac{\mathcal{P}_2}{T_2} + \left(\Delta \omega + \frac{\partial \Phi}{\partial t} \right) \mathcal{P}_1 - \frac{|d_{21}|^2}{\hbar} \mathcal{E} N \quad (10)$$

$$\frac{\partial N}{\partial t} = -\frac{1}{T_1} (N - N_0) + \frac{1}{\hbar} \mathcal{E} \mathcal{P}_2 \quad (11)$$

kde $\Delta \omega = \omega - \omega_{21}$ a $\Delta k = \omega/c - k$.

- ▶ Tato uzavřená **soustava** pěti parciálních diferenciálních rovnic **prvního řádu je matematickým modelem koherentního šíření záření.**
- ▶ Popisuje **kooperativní chování** celého souboru kvantových soustav pod vlivem elektrického pole elektromagnetického záření i zpětný vliv souboru kvantových soustav na elektromagnetické pole.

$$\left\{ \frac{\partial \Phi}{\partial z} + \frac{1}{c} \frac{\partial \Phi}{\partial t} + \Delta k \right\} \mathcal{E} = \frac{\mu_0 \omega_{21} c}{2} \mathcal{P}_1 \quad (7)$$

$$\frac{\partial \mathcal{E}}{\partial z} + \frac{1}{c} \frac{\partial \mathcal{E}}{\partial t} = \frac{\mu_0 \omega_{21} c}{2} \mathcal{P}_2 \quad (8)$$

$$\frac{\partial \mathcal{P}_1}{\partial t} = -\frac{\mathcal{P}_1}{T_2} - \left(\Delta \omega + \frac{\partial \Phi}{\partial t} \right) \mathcal{P}_2 \quad (9)$$

$$\frac{\partial \mathcal{P}_2}{\partial t} = -\frac{\mathcal{P}_2}{T_2} + \left(\Delta \omega + \frac{\partial \Phi}{\partial t} \right) \mathcal{P}_1 - \frac{|d_{21}|^2}{\hbar} \mathcal{E} N \quad (10)$$

$$\frac{\partial N}{\partial t} = -\frac{1}{T_1} (N - N_0) + \frac{1}{\hbar} \mathcal{E} \mathcal{P}_2 \quad (11)$$

kde $\Delta \omega = \omega - \omega_{21}$ a $\Delta k = \omega/c - k$.

- ▶ Tato uzavřená **soustava** pěti parciálních diferenciálních rovnic **prvního řádu je matematickým modelem koherentního šíření záření.**
- ▶ Popisuje **kooperativní chování** celého souboru kvantových soustav pod vlivem elektrického pole elektromagnetického záření i zpětný vliv souboru kvantových soustav na elektromagnetické pole.
- ▶ V řadě zvláštních případů je možné tento model ještě dále **zjednodušovat.**

Signál v rezonanci a bez fázové modulace

Další zjednodušení rovnic nastane, pokud se předpokládá šíření signálu bez fázové modulace s frekvencí odpovídající přesně frekvenci kvantového přechodu, tj.
 $\Phi = \text{const.}$, $\Delta\omega = 0$ a $\Delta k = 0$:

$$\left\{ \frac{\partial\Phi}{\partial z} + \frac{1}{c} \frac{\partial\Phi}{\partial t} + \Delta k \right\} \mathcal{E} = -\frac{\mu_0 \omega_{21} c}{2} \mathcal{P}_1 \quad \Rightarrow \mathcal{P}_1 \equiv 0$$

$$\frac{\partial \mathcal{E}}{\partial z} + \frac{1}{c} \frac{\partial \mathcal{E}}{\partial t} = -\frac{\mu_0 \omega_{21} c}{2} \mathcal{P}_2$$

$$\frac{\partial \mathcal{P}_1}{\partial t} = -\frac{\mathcal{P}_1}{T_2} - \left(\Delta\omega + \frac{\partial\Phi}{\partial t} \right) \mathcal{P}_2 \quad \Rightarrow 0 = 0$$

$$\frac{\partial \mathcal{P}_2}{\partial t} = -\frac{\mathcal{P}_2}{T_2} + \left(\Delta\omega + \frac{\partial\Phi}{\partial t} \right) \mathcal{P}_1 - \frac{|d_{21}|^2}{\hbar} \mathcal{E} N$$

$$\frac{\partial N}{\partial t} = -\frac{1}{T_1} (N - N_0) + \frac{1}{\hbar} \mathcal{E} \mathcal{P}_2$$

Signál v rezonanci a bez fázové modulace

Další zjednodušení rovnic nastane, pokud se předpokládá šíření signálu bez fázové modulace s frekvencí odpovídající přesně frekvenci kvantového přechodu, tj.
 $\Phi = \text{const.}$, $\Delta\omega = 0$ a $\Delta k = 0$:

$$\begin{aligned}\frac{\partial \mathcal{E}}{\partial z} + \frac{1}{c} \frac{\partial \mathcal{E}}{\partial t} &= -\frac{\mu_0 \omega_{21} c}{2} \mathcal{P}_2, \quad \mathcal{P}_1 \equiv 0 \\ \frac{\partial \mathcal{P}_2}{\partial t} &= -\frac{\mathcal{P}_2}{T_2} - \frac{|d_{21}|^2}{\hbar} \mathcal{E} N \\ \frac{\partial N}{\partial t} &= -\frac{(N - N_0)}{T_1} + \frac{1}{\hbar} \mathcal{E} \mathcal{P}_2\end{aligned}$$

Tato soustava rovnic, zapsaná pro komplexní analyticky sdružený signál, je v literatuře někdy označována jako **Maxwellovy-Blochovy rovnice**.

... a ještě zavedeme tzv. *lokální čas*

$$t' = t - \frac{z}{c} \quad z' = z$$

$$\frac{\partial}{\partial t} = \frac{\partial}{\partial t'} \frac{\partial t'}{\partial t} + \frac{\partial}{\partial z'} \frac{\partial z'}{\partial t} \Rightarrow \frac{\partial}{\partial t} = \frac{\partial}{\partial t'}; \quad \frac{\partial}{\partial z} = \frac{\partial}{\partial t'} \frac{\partial t'}{\partial z} + \frac{\partial}{\partial z'} \frac{\partial z'}{\partial z} \Rightarrow \frac{\partial}{\partial z'} = \frac{\partial}{\partial z} + \frac{1}{c} \frac{\partial}{\partial t}$$

... a ještě zavedeme tzv. *lokální čas*

$$t' = t - \frac{z}{c} \quad z' = z$$

$$\frac{\partial}{\partial t} = \frac{\partial}{\partial t'} \frac{\partial t'}{\partial t} + \frac{\partial}{\partial z'} \frac{\partial z'}{\partial t} \Rightarrow \frac{\partial}{\partial t} = \frac{\partial}{\partial t'}; \quad \frac{\partial}{\partial z} = \frac{\partial}{\partial t'} \frac{\partial t'}{\partial z} + \frac{\partial}{\partial z'} \frac{\partial z'}{\partial z} \Rightarrow \frac{\partial}{\partial z'} = \frac{\partial}{\partial z} + \frac{1}{c} \frac{\partial}{\partial t}$$

Potom:

$$\begin{aligned}\frac{\partial \mathcal{E}}{\partial z'} &= \frac{\mu_0 \omega_{21} c}{2} \mathcal{P}_2 \\ \frac{\partial \mathcal{P}_2}{\partial t'} &= -\frac{\mathcal{P}_2}{T_2} - \frac{|d_{21}|^2}{\hbar} \mathcal{E} N \\ \frac{\partial N}{\partial t'} &= -\frac{N - N_0}{T_1} + \frac{1}{\hbar} \mathcal{E} \mathcal{P}_2\end{aligned}$$

... a ještě zavedeme tzv. *lokální čas*

$$t' = t - \frac{z}{c} \quad z' = z$$

$$\frac{\partial}{\partial t} = \frac{\partial}{\partial t'} \frac{\partial t'}{\partial t} + \frac{\partial}{\partial z'} \frac{\partial z'}{\partial t} \Rightarrow \frac{\partial}{\partial t} = \frac{\partial}{\partial t'}; \quad \frac{\partial}{\partial z} = \frac{\partial}{\partial t'} \frac{\partial t'}{\partial z} + \frac{\partial}{\partial z'} \frac{\partial z'}{\partial z} \Rightarrow \frac{\partial}{\partial z'} = \frac{\partial}{\partial z} + \frac{1}{c} \frac{\partial}{\partial t}$$

Potom:

$$\begin{aligned}\frac{\partial \mathcal{E}}{\partial z'} &= \frac{\mu_0 \omega_{21} c}{2} \mathcal{P}_2 \\ \frac{\partial \mathcal{P}_2}{\partial t'} &= -\frac{\mathcal{P}_2}{T_2} - \frac{|d_{21}|^2}{\hbar} \mathcal{E} N \\ \frac{\partial N}{\partial t'} &= -\frac{N - N_0}{T_1} + \frac{1}{\hbar} \mathcal{E} \mathcal{P}_2\end{aligned}$$

- ▶ Rovnice **nelineární**

... a ještě zavedeme tzv. *lokální čas*

$$t' = t - \frac{z}{c} \quad z' = z$$

$$\frac{\partial}{\partial t} = \frac{\partial}{\partial t'} \frac{\partial t'}{\partial t} + \frac{\partial}{\partial z'} \frac{\partial z'}{\partial t} \Rightarrow \frac{\partial}{\partial t} = \frac{\partial}{\partial t'}; \quad \frac{\partial}{\partial z} = \frac{\partial}{\partial t'} \frac{\partial t'}{\partial z} + \frac{\partial}{\partial z'} \frac{\partial z'}{\partial z} \Rightarrow \frac{\partial}{\partial z'} = \frac{\partial}{\partial z} + \frac{1}{c} \frac{\partial}{\partial t}$$

Potom:

$$\begin{aligned}\frac{\partial \mathcal{E}}{\partial z'} &= \frac{\mu_0 \omega_{21} c}{2} \mathcal{P}_2 \\ \frac{\partial \mathcal{P}_2}{\partial t'} &= -\frac{\mathcal{P}_2}{T_2} - \frac{|d_{21}|^2}{\hbar} \mathcal{E} N \\ \frac{\partial N}{\partial t'} &= -\frac{N - N_0}{T_1} + \frac{1}{\hbar} \mathcal{E} \mathcal{P}_2\end{aligned}$$

- ▶ Rovnice **nelineární**
- ▶ Neplatí princip superpozice $E_{\text{in}}^{(1)} \rightarrow E_{\text{out}}^{(1)}, E_{\text{in}}^{(2)} \rightarrow E_{\text{out}}^{(2)} \nLeftrightarrow E_{\text{in}}^{(1)} + E_{\text{in}}^{(2)} \neq E_{\text{out}}^{(1)} + E_{\text{out}}^{(2)}$

... a ještě zavedeme tzv. *lokální čas*

$$t' = t - \frac{z}{c} \quad z' = z$$

$$\frac{\partial}{\partial t} = \frac{\partial}{\partial t'} \frac{\partial t'}{\partial t} + \frac{\partial}{\partial z'} \frac{\partial z'}{\partial t} \Rightarrow \frac{\partial}{\partial t} = \frac{\partial}{\partial t'}; \quad \frac{\partial}{\partial z} = \frac{\partial}{\partial t'} \frac{\partial t'}{\partial z} + \frac{\partial}{\partial z'} \frac{\partial z'}{\partial z} \Rightarrow \frac{\partial}{\partial z'} = \frac{\partial}{\partial z} + \frac{1}{c} \frac{\partial}{\partial t}$$

Potom:

$$\begin{aligned}\frac{\partial \mathcal{E}}{\partial z'} &= \frac{\mu_0 \omega_{21} c}{2} \mathcal{P}_2 \\ \frac{\partial \mathcal{P}_2}{\partial t'} &= -\frac{\mathcal{P}_2}{T_2} - \frac{|d_{21}|^2}{\hbar} \mathcal{E} N \\ \frac{\partial N}{\partial t'} &= -\frac{N - N_0}{T_1} + \frac{1}{\hbar} \mathcal{E} \mathcal{P}_2\end{aligned}$$

- ▶ Rovnice **nelineární**
- ▶ Neplatí princip superpozice $E_{\text{in}}^{(1)} \rightarrow E_{\text{out}}^{(1)}, E_{\text{in}}^{(2)} \rightarrow E_{\text{out}}^{(2)} \nLeftrightarrow E_{\text{in}}^{(1)} + E_{\text{in}}^{(2)} \neq E_{\text{out}}^{(1)} + E_{\text{out}}^{(2)}$
- ▶ Amplitudy pole a polarizace a také inverze populace hladin závisí na souřadnicích v prostoru i čase

- ▶ Výchozí rovnice

$$\begin{aligned}\frac{\partial \mathcal{E}}{\partial z} &= -\frac{\mu_0 \omega_{21} c}{2} \mathcal{P}_2 \\ \frac{\partial \mathcal{P}_2}{\partial t} &= -\frac{\mathcal{P}_2}{T_2} - \frac{|d_{21}|^2}{\hbar} \mathcal{E} N \\ \frac{\partial N}{\partial t} &= -\frac{N - N_0}{T_1} + \frac{1}{\hbar} \mathcal{E} \mathcal{P}_2\end{aligned}$$

Šíření stacionárního rezonančního signálu bez fázové modulace

- ▶ Výchozí rovnice

$$\begin{aligned}\frac{\partial \mathcal{E}}{\partial z} &= -\frac{\mu_0 \omega_{21} c}{2} \mathcal{P}_2 \\ \frac{\partial \mathcal{P}_2}{\partial t} &= -\frac{\mathcal{P}_2}{T_2} - \frac{|d_{21}|^2}{\hbar} \mathcal{E} N \\ \frac{\partial N}{\partial t} &= -\frac{N - N_0}{T_1} + \frac{1}{\hbar} \mathcal{E} \mathcal{P}_2\end{aligned}$$

- ▶ Stacionární signál \Rightarrow položíme časové derivace $\equiv 0$

Šíření stacionárního rezonančního signálu bez fázové modulace

- ▶ Výchozí rovnice

$$\begin{aligned}\frac{\partial \mathcal{E}}{\partial z} &= -\frac{\mu_0 \omega_{21} c}{2} \mathcal{P}_2 \\ \frac{\partial \mathcal{P}_2}{\partial t} &= -\frac{\mathcal{P}_2}{T_2} - \frac{|d_{21}|^2}{\hbar} \mathcal{E} N \\ \frac{\partial N}{\partial t} &= -\frac{N - N_0}{T_1} + \frac{1}{\hbar} \mathcal{E} \mathcal{P}_2\end{aligned}$$

- ▶ Stacionární signál \Rightarrow položíme časové derivace $\equiv 0$
- ▶ Získáme rovnice pro $\mathcal{P}_2(z)$, $N(z)$

$$\begin{aligned}0 &= -\frac{\mathcal{P}_2}{T_2} - \frac{|d_{21}|^2}{\hbar} \mathcal{E} N & \Rightarrow \quad \mathcal{P}_2(z) &= -\frac{|d_{21}|^2}{\hbar} T_2 \mathcal{E} N \\ 0 &= -\frac{(N - N_0)}{T_1} + \frac{1}{\hbar} \mathcal{E} \mathcal{P}_2 & \Rightarrow \quad N(z) &= \frac{N_0}{1 + \frac{|d_{21}|^2}{\hbar^2} T_1 T_2 \mathcal{E}^2}\end{aligned}$$

Šíření stacionárního rezonančního signálu bez fázové modulace

- Výchozí rovnice

$$\begin{aligned}\frac{\partial \mathcal{E}}{\partial z} &= -\frac{\mu_0 \omega_{21} c}{2} \mathcal{P}_2 \\ \frac{\partial \mathcal{P}_2}{\partial t} &= -\frac{\mathcal{P}_2}{T_2} - \frac{|d_{21}|^2}{\hbar} \mathcal{E} N \\ \frac{\partial N}{\partial t} &= -\frac{N - N_0}{T_1} + \frac{1}{\hbar} \mathcal{E} \mathcal{P}_2\end{aligned}$$

- Stacionární signál \Rightarrow položíme časové derivace $\equiv 0$
- Získáme rovnice pro $\mathcal{P}_2(z)$, $N(z)$

$$\begin{aligned}0 &= -\frac{\mathcal{P}_2}{T_2} - \frac{|d_{21}|^2}{\hbar} \mathcal{E} N & \Rightarrow \quad \mathcal{P}_2(z) &= -\frac{|d_{21}|^2}{\hbar} T_2 \mathcal{E} N \\ 0 &= -\frac{(N - N_0)}{T_1} + \frac{1}{\hbar} \mathcal{E} \mathcal{P}_2 & \Rightarrow \quad N(z) &= \frac{N_0}{1 + \frac{|d_{21}|^2}{\hbar^2} T_1 T_2 \mathcal{E}^2}\end{aligned}$$

- Zůstává diferenciální rovnice pro změnu intenzity \mathcal{E} ve směru šíření z

$$\frac{\partial \mathcal{E}}{\partial z} = -\frac{\mu_0 \omega_{21} c}{2} \mathcal{P}_2 \quad \Rightarrow \quad \frac{\partial \mathcal{E}}{\partial z} = \frac{|d_{21}|^2}{\hbar} \frac{\mu_0 \omega_{21} c}{2} T_2 N_0 \frac{\mathcal{E}}{1 + \frac{|d_{21}|^2}{\hbar^2} T_1 T_2 \mathcal{E}^2}$$

Šíření stacionárního rezonančního signálu bez fázové modulace

Rovnice pro intenzitu optického záření

- ▶ Přejdeme od intenzity elektrického pole k intenzitě světla $I = \frac{1}{2} c \epsilon_0 \mathcal{E}^2$

$$\frac{\partial \mathcal{E}}{\partial z} = \frac{|d_{21}|^2}{\hbar} \frac{\mu_0 \omega_{21} c}{2} T_2 N_0 \frac{\mathcal{E}}{1 + \frac{|d_{21}|^2}{\hbar^2} T_1 T_2 \mathcal{E}^2} \quad \Rightarrow \quad \frac{dI}{dz} = \frac{g_0}{1 + I/I_s} I$$

Šíření stacionárního rezonančního signálu bez fázové modulace

Rovnice pro intenzitu optického záření

- ▶ Přejdeme od intenzity elektrického pole k intenzitě světla $I = \frac{1}{2} c \epsilon_0 \mathcal{E}^2$

$$\frac{\partial \mathcal{E}}{\partial z} = \frac{|d_{21}|^2}{\hbar} \frac{\mu_0 \omega_{21} c}{2} T_2 N_0 \frac{\mathcal{E}}{1 + \frac{|d_{21}|^2}{\hbar^2} T_1 T_2 \mathcal{E}^2} \quad \Rightarrow \quad \frac{dI}{dz} = \frac{g_0}{1 + I/I_s} I$$

- ▶ Přitom využijeme vztah pro derivaci složené funkce:

$$\frac{\partial \mathcal{E}^2}{\partial z} = 2\mathcal{E} \frac{\partial \mathcal{E}}{\partial z}$$

Šíření stacionárního rezonančního signálu bez fázové modulace

Rovnice pro intenzitu optického záření

- ▶ Přejdeme od intenzity elektrického pole k intenzitě světla $I = \frac{1}{2} c \varepsilon_0 \mathcal{E}^2$

$$\frac{\partial \mathcal{E}}{\partial z} = \frac{|d_{21}|^2}{\hbar} \frac{\mu_0 \omega_{21} c}{2} T_2 N_0 \frac{\mathcal{E}}{1 + \frac{|d_{21}|^2}{\hbar^2} T_1 T_2 \mathcal{E}^2} \quad \Rightarrow \quad \frac{dI}{dz} = \frac{g_0}{1 + I/I_s} I$$

- ▶ Přitom využijeme vztah pro derivaci složené funkce:

$$\frac{\partial \mathcal{E}^2}{\partial z} = 2\mathcal{E} \frac{\partial \mathcal{E}}{\partial z}$$

- ▶ Zisk pro slabý signál $g_0 = \sigma N_0$

Šíření stacionárního rezonančního signálu bez fázové modulace

Rovnice pro intenzitu optického záření

- ▶ Přejdeme od intenzity elektrického pole k intenzitě světla $I = \frac{1}{2} c \varepsilon_0 \mathcal{E}^2$

$$\frac{\partial \mathcal{E}}{\partial z} = \frac{|d_{21}|^2}{\hbar} \frac{\mu_0 \omega_{21} c}{2} T_2 N_0 \frac{\mathcal{E}}{1 + \frac{|d_{21}|^2}{\hbar^2} T_1 T_2 \mathcal{E}^2} \quad \Rightarrow \quad \frac{dI}{dz} = \frac{g_0}{1 + I/I_s} I$$

- ▶ Přitom využijeme vztah pro derivaci složené funkce:

$$\frac{\partial \mathcal{E}^2}{\partial z} = 2\mathcal{E} \frac{\partial \mathcal{E}}{\partial z}$$

- ▶ Zisk pro slabý signál $g_0 = \sigma N_0$
- ▶ Účinný průřez pro stimulovanou emisi

$$\sigma = \frac{\mu_0 \omega_{21} c |d_{21}|^2}{\hbar} T_2$$

Šíření stacionárního rezonančního signálu bez fázové modulace

Rovnice pro intenzitu optického záření

- ▶ Přejdeme od intenzity elektrického pole k intenzitě světla $I = \frac{1}{2} c \varepsilon_0 \mathcal{E}^2$

$$\frac{\partial \mathcal{E}}{\partial z} = \frac{|d_{21}|^2}{\hbar} \frac{\mu_0 \omega_{21} c}{2} T_2 N_0 \frac{\mathcal{E}}{1 + \frac{|d_{21}|^2}{\hbar^2} T_1 T_2 \mathcal{E}^2} \quad \Rightarrow \quad \frac{dI}{dz} = \frac{g_0}{1 + I/I_s} I$$

- ▶ Přitom využijeme vztah pro derivaci složené funkce:

$$\frac{\partial \mathcal{E}^2}{\partial z} = 2\mathcal{E} \frac{\partial \mathcal{E}}{\partial z}$$

- ▶ Zisk pro slabý signál $g_0 = \sigma N_0$
- ▶ Účinný průřez pro stimulovanou emisi

$$\sigma = \frac{\mu_0 \omega_{21} c |d_{21}|^2}{\hbar} T_2$$

- ▶ Saturační intenzita

$$I_s = \frac{\hbar \omega}{2\sigma T_1}$$

Šíření stacionárního rezonančního signálu bez fázové modulace – zesilování

- ▶ Rovnice popisující zesilování rezonančního záření

$$\frac{dI}{dz} = \frac{g_0}{1 + I/I_s} I$$

Šíření stacionárního rezonančního signálu bez fázové modulace – zesilování

- ▶ Rovnice popisující zesilování rezonančního záření

$$\frac{dI}{dz} = \frac{g_0}{1 + I/I_s} I$$

- ▶ Normovaná intenzita záření

$$J = \frac{I}{I_s} \quad \Rightarrow \quad \frac{dJ}{dz} = \frac{g_0}{1 + J} J$$

Šíření stacionárního rezonančního signálu bez fázové modulace – zesilování

- ▶ Rovnice popisující zesilování rezonančního záření

$$\frac{dI}{dz} = \frac{g_0}{1 + I/I_s} I$$

- ▶ Normovaná intenzita záření

$$J = \frac{I}{I_s} \quad \Rightarrow \quad \frac{dJ}{dz} = \frac{g_0}{1 + J} J$$

- ▶ Separace proměnných

$$\frac{1 + J}{J} dJ = g_0 dz$$

Šíření stacionárního rezonančního signálu bez fázové modulace – zesilování

- ▶ Rovnice popisující zesilování rezonančního záření

$$\frac{dI}{dz} = \frac{g_0}{1 + I/I_s} I$$

- ▶ Normovaná intenzita záření

$$J = \frac{I}{I_s} \quad \Rightarrow \quad \frac{dJ}{dz} = \frac{g_0}{1 + J} J$$

- ▶ Separace proměnných

$$\frac{1+J}{J} dJ = g_0 dz$$

- ▶ Okrajová (počáteční) podmínka

$$J|_{z=0} = J_1$$

Šíření stacionárního rezonančního signálu bez fázové modulace – zesilování

- ▶ Rovnice popisující zesilování rezonančního záření

$$\frac{dI}{dz} = \frac{g_0}{1 + I/I_s} I$$

- ▶ Normovaná intenzita záření

$$J = \frac{I}{I_s} \quad \Rightarrow \quad \frac{dJ}{dz} = \frac{g_0}{1 + J} J$$

- ▶ Separace proměnných

$$\frac{1+J}{J} dJ = g_0 dz$$

- ▶ Okrajová (počáteční) podmínka

$$J|_{z=0} = J_1$$

- ▶ Řešení ($z = L$)

$$\ln \frac{J_2}{J_1} + (J_2 - J_1) = g_0 L$$

Šíření stacionárního rezonančního signálu bez fázové modulace – zesilování

- ▶ Řešení ($z = L$) – transcendentní rovnice

$$\ln \frac{J_2}{J_1} + (J_2 - J_1) = g_0 L$$

Šíření stacionárního rezonančního signálu bez fázové modulace – zesilování

- ▶ Řešení ($z = L$) – transcendentní rovnice

$$\ln \frac{J_2}{J_1} + (J_2 - J_1) = g_0 L$$

Slabý signál	Silný signál
$J_1 \ll 1, \quad J_2 \ll 1$	$\ln \frac{J_2}{J_1} \approx 0, \quad \text{tj.} \quad \frac{J_2}{J_1} \approx 1$
$J_2 = J_1 e^{g_0 L}$	$J_2 = J_1 + g_0 L$

Šíření stacionárního rezonančního signálu bez fázové modulace – zesilování

- ▶ Řešení ($z = L$) – transcendentní rovnice

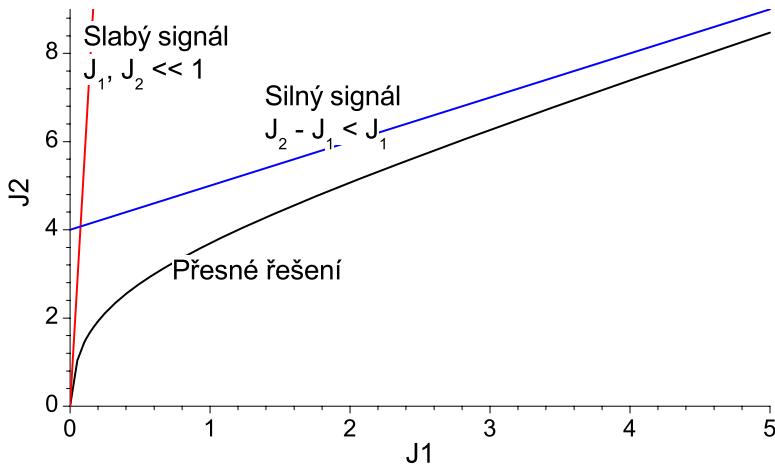
$$\ln \frac{J_2}{J_1} + (J_2 - J_1) = g_0 L$$

Slabý signál	Silný signál
$J_1 \ll 1, \quad J_2 \ll 1$	$\ln \frac{J_2}{J_1} \approx 0, \quad \text{tj.} \quad \frac{J_2}{J_1} \approx 1$
$J_2 = J_1 e^{g_0 L}$	$J_2 = J_1 + g_0 L$

- ▶ Obecné řešení transcendentní rovnice (pro libovolné J_1 a zesílení)

$$J_2 = \text{LambertW} \left\{ J_1 e^{[J_1 + g_0 L]} \right\}$$

Šíření stacionárního rezonančního signálu bez fázové modulace – zesilování ($g_0 L = 4$)



Šíření stacionárního rezonančního signálu bez fázové modulace – zesilování + ztráty

- ▶ Přidáme součinitel ztrát β :

$$\frac{dJ}{dz} = -\beta J + g_0 \frac{J}{1+J}$$

Šíření stacionárního rezonančního signálu bez fázové modulace – zesilování + ztráty

- ▶ Přidáme součinitel ztrát β :

$$\frac{dJ}{dz} = -\beta J + g_0 \frac{J}{1+J}$$

- ▶ Řešení (DC 3.2)

$$\ln \frac{J_2}{J_1} - \frac{g_0}{\beta} \ln \frac{g_0 - \beta(1 + J_2)}{g_0 - \beta(1 + J_1)} = (g_0 - \beta) L$$

Šíření stacionárního rezonančního signálu bez fázové modulace – zesilování + ztráty

- ▶ Přidáme součinitel ztrát β :

$$\frac{dJ}{dz} = -\beta J + g_0 \frac{J}{1+J}$$

- ▶ Řešení (DC 3.2)

$$\ln \frac{J_2}{J_1} - \frac{g_0}{\beta} \ln \frac{g_0 - \beta(1 + J_2)}{g_0 - \beta(1 + J_1)} = (g_0 - \beta) L$$

- ▶ Limita $g_0 L \rightarrow \infty \quad \Rightarrow$

$$I_2^{\max} = \frac{g_0}{\beta} I_s$$

Šíření stacionárního rezonančního signálu bez fázové modulace – zesilování + ztráty

- ▶ Přidáme součinitel ztrát β :

$$\frac{dJ}{dz} = -\beta J + g_0 \frac{J}{1+J}$$

- ▶ Řešení (DC 3.2)

$$\ln \frac{J_2}{J_1} - \frac{g_0}{\beta} \ln \frac{g_0 - \beta(1 + J_2)}{g_0 - \beta(1 + J_1)} = (g_0 - \beta) L$$

- ▶ Limita $g_0 L \rightarrow \infty \quad \Rightarrow$

$$I_2^{\max} = \frac{g_0}{\beta} I_s$$

- ▶ Existuje mezní hustota výkonu nekonečně dlouhého zesilovače – saturovaný zisk právě kompenzuje ztráty

- ▶ Charakter šíření určuje délka obálky impulzu T_{imp} v porovnání s relaxačními časy T_1 a T_2

$$\frac{\partial \mathcal{E}}{\partial z'} = -\frac{\mu_0 \omega_{21} c}{2} \mathcal{P}_2$$

$$\frac{\partial \mathcal{P}_2}{\partial t'} = -\frac{\mathcal{P}_2}{T_2} - \frac{|d_{21}|^2}{\hbar} \mathcal{E} N$$

$$\frac{\partial N}{\partial t'} = -\frac{N - N_0}{T_1} + \frac{1}{\hbar} \mathcal{E} \mathcal{P}_2$$

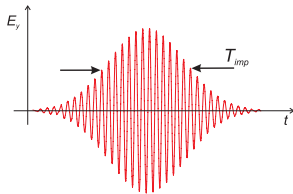
Šíření impulsů

- ▶ Charakter šíření určuje délka obálky impulzu T_{imp} v porovnání s relaxačními časy T_1 a T_2

$$\frac{\partial \mathcal{E}}{\partial z'} = -\frac{\mu_0 \omega_{21} c}{2} \mathcal{P}_2$$

$$\frac{\partial \mathcal{P}_2}{\partial t'} = -\frac{\mathcal{P}_2}{T_2} - \frac{|d_{21}|^2}{\hbar} \mathcal{E} N$$

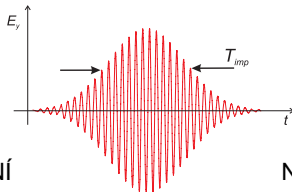
$$\frac{\partial N}{\partial t'} = -\frac{N - N_0}{T_1} + \frac{1}{\hbar} \mathcal{E} \mathcal{P}_2$$



Šíření impulsů

- Charakter šíření určuje délka obálky impulzu T_{imp} v porovnání s relaxačními časy T_1 a T_2

$$\frac{\partial \mathcal{E}}{\partial z'} = -\frac{\mu_0 \omega_{21} c}{2} \mathcal{P}_2$$
$$\frac{\partial \mathcal{P}_2}{\partial t'} = -\frac{\mathcal{P}_2}{T_2} - \frac{|d_{21}|^2}{\hbar} \mathcal{E} N$$
$$\frac{\partial N}{\partial t'} = -\frac{N - N_0}{T_1} + \frac{1}{\hbar} \mathcal{E} \mathcal{P}_2$$



KOHERENTNÍ

$$T_{imp} \ll T_1, T_2$$

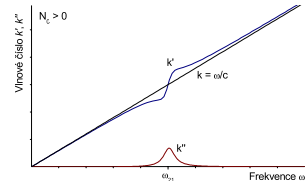
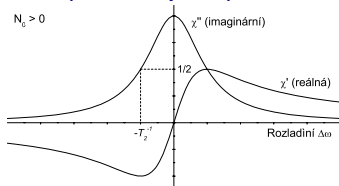
NEKOHERENTNÍ

$$T_{imp} \gg T_1, T_2$$

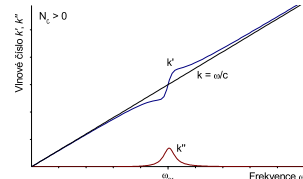
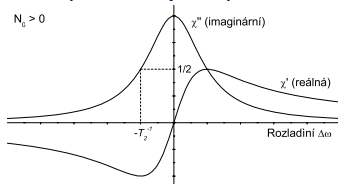
APROXIMACE
RYCHLOSTNÍCH ROVNIC

$$T_2 \ll T_{imp} \ll T_1$$

► Rezonanční prostředí je disperzní a nelineární

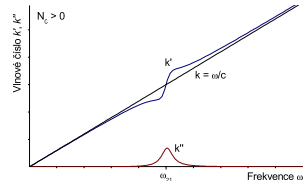
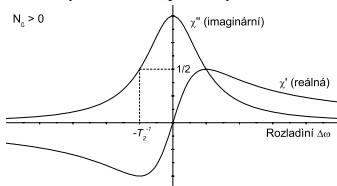


- Rezonanční prostředí je disperzní a nelineární



- Pro popis sření impulzů s pomalu proměnnou obálkou stačí 5 rovnic \Rightarrow časový vývoj obálky impulzu, amplitudu polarizace prostředí a inverzi populace hladin.

- Rezonanční prostředí je disperzní a nelineární



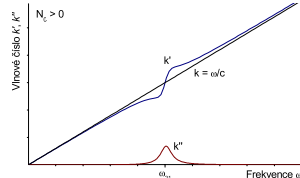
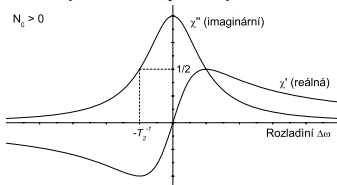
- Pro popis sření impulzů s pomalu proměnnou obálkou stačí 5 rovnic \Rightarrow časový vývoj obálky impulzu, amplitudu polarizace prostředí a inverzi populace hladin.
- Dokonalá rezonance, konstantní fáze:

$$\frac{\partial \mathcal{E}}{\partial z'} = -\frac{\mu_0 \omega_{21} c}{2} \mathcal{P}_2$$

$$\frac{\partial \mathcal{P}_2}{\partial t'} = -\frac{\mathcal{P}_2}{T_2} - \frac{|d_{21}|^2}{\hbar} \mathcal{E} N$$

$$\frac{\partial N}{\partial t'} = -\frac{N - N_0}{T_1} + \frac{1}{\hbar} \mathcal{E} \mathcal{P}_2$$

- Rezonanční prostředí je disperzní a nelineární



- Pro popis sření impulzů s pomalou proměnnou obálkou stačí 5 rovnic \Rightarrow časový vývoj obálky impulzu, amplitudu polarizace prostředí a inverzi populace hladin.
- Dokonalá rezonance, konstantní fáze:

$$\frac{\partial \mathcal{E}}{\partial z'} = -\frac{\mu_0 \omega_{21} c}{2} \mathcal{P}_2$$

$$\frac{\partial \mathcal{P}_2}{\partial t'} = -\frac{\mathcal{P}_2}{T_2} - \frac{|d_{21}|^2}{\hbar} \mathcal{E} N$$

$$\frac{\partial N}{\partial t'} = -\frac{N - N_0}{T_1} + \frac{1}{\hbar} \mathcal{E} \mathcal{P}_2$$

- Stacionární řešení poskytuje rovnici popisující zesilování rezonančního záření

$$\frac{dl}{dz} = \frac{g_0}{1 + I/I_s} I - \beta I$$

-  VRBOVÁ M., ŠULC J.: *Interakce rezonančního záření s látkou*, Skriptum FJFI ČVUT, Praha, 2006
-  LOISELL, W. H.: *Quantum statistical properties of radiation*, John Wiley & Sons, New York, 1973
-  VRBOVÁ M. a kol.: *Lasery a moderní optika - Oborová encyklopédie*, Prometheus, Praha, 1994
-  VRBOVÁ M., JELÍNKOVÁ H., GAVRILOV P.: *Úvod do laserové techniky*, Skriptum FJFI ČVUT, Praha, 1994 <http://people.fjfi.cvut.cz/sulcjan1/ulat/>
-  LONČAR, G.: *Elektrodynamika I*, Skriptum FJFI ČVUT, Praha, 1990
-  PREMARATNE M., AGRAWAL, G. P.: *Light propagation in gain media*, Cambridge University Press, Cambridge, 2011
-  Přednášky: <http://people.fjfi.cvut.cz/sulcjan1/FLA/>